

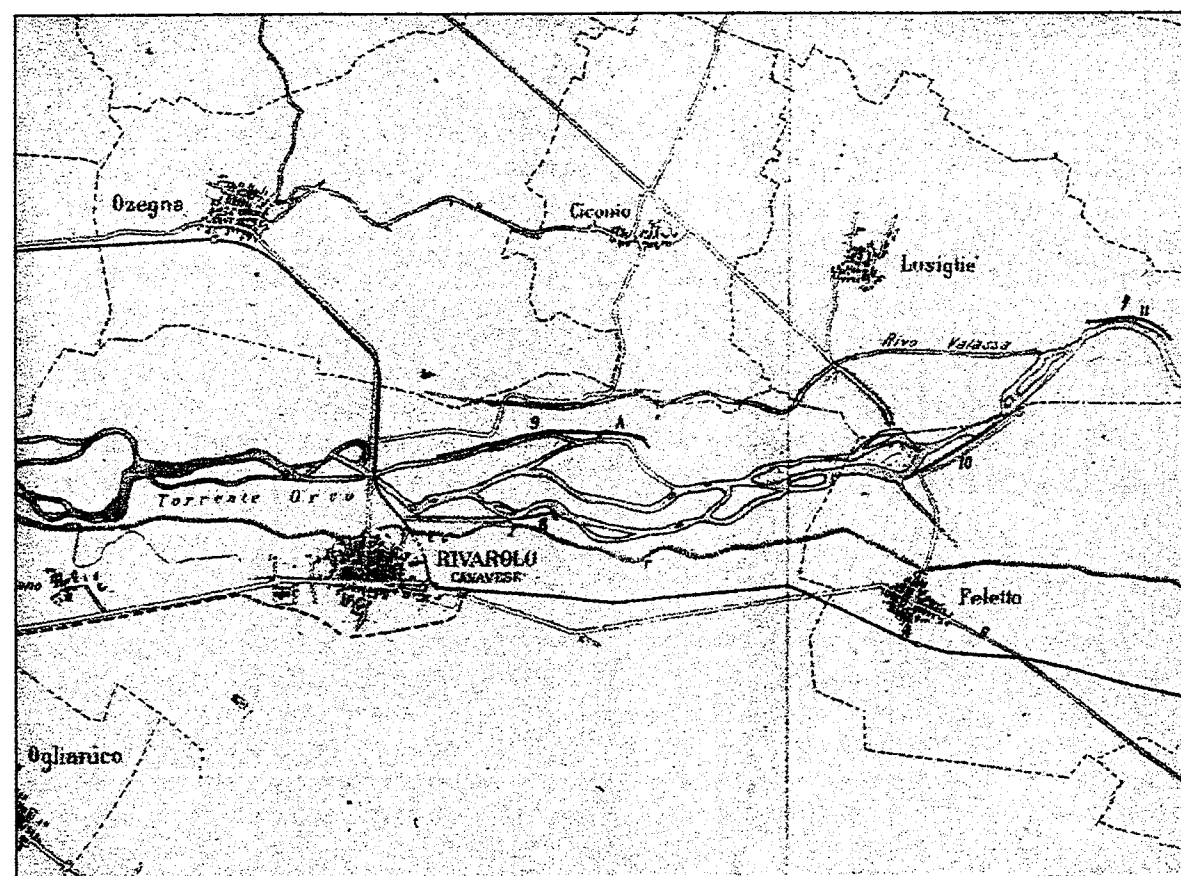
REGIONE PIEMONTE
DIREZIONE SERVIZI TECNICI DI PREVENZIONE

Quaderno n. 13

Maurizio Caputo

Ricostruzione storica degli eventi alluvionali del torrente Orco tra Cuorné e la confluenza nel Po

Ubicazione cartografica dei fenomeni



A cura del SETTORE STUDI E RICERCHE GEOLOGICHE SISTEMA INFORMATIVO PREVENZIONE RISCHI

Allegato B.

UBICAZIONE CARTOGRAFICA DEI FENOMENI.

B.1 Nota introduttiva.

Dopo aver riportato la storia dei fenomeni di piena succedutisi lungo il corso dell'Orco negli ultimi secoli ed averne data un'interpretazione statistica circa l'andamento nel corso del tempo, seguendo una linea già intrapresa per altre ricerche simili, si anche è ritenuto opportuno operare una visualizzazione in termini cartografici della distribuzione degli eventi, al fine di poter evidenziare quali aree fossero in passato o siano tuttora soggette a subire gli effetti e, soprattutto, i danni legati al passaggio delle piene del torrente.

Data la natura delle fonti storiche utilizzate, molte volte vaghe nei riferimenti al contesto territoriale specifico delle aree colpite, e spesso l'impossibilità di localizzare punti precisi o aree i cui nomi sono, per varie ragioni, cambiati nel corso del tempo, non si è sempre riusciti a far comparire nella cartografia il complesso dei fenomeni studiati e riportati nei precedenti capitoli. Se da un lato questo ha provocato l'omissione di dati anche importanti su processi del corso d'acqua e danni alle cose causati dalle inondazioni del passato, dall'altro il metodo utilizzato nello strutturare l'allegato è tale, per cui risulta abbastanza completa la serie su talune località colpite piuttosto duramente e ricorrentemente in tempi sia storici che recenti dalle alluvioni dell'Orco.

L'individuazione sul territorio dei punti e delle zone considerate, è stata possibile attraverso l'osservazione della cartografia recente (a scale diverse), attraverso l'analisi di schizzi, mappe e allegati cartografici di vecchi documenti e qualche volta anche attraverso una interpretazione delle informazioni riportate nei manoscritti consultati.

B.2 Strutturazione delle tavole cartografiche.

Nel presente allegato vengono riportate XIII tavole ricavate dalla Carta Tecnica Regionale alla scala 1:10.000, nelle quali è riportato un numero variabile di etichette rettangolari collegate, mediante un breve segmento, a cerchi di diverse dimensioni distribuiti in varie zone dell'areale considerato: si tratta dei riferimenti ai fenomeni di dinamica fluviale lungo l'asta dell'Orco, più alcuni dati per il Gallenca e per la Bealera di Rivarolo, entrambi legati al torrente.

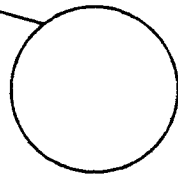
Ogni etichetta porta in alto a sinistra un numero (codice), che ha lo scopo di rimandare il lettore al capitolo terzo, ove l'evento è descritto in maniera più completa; sotto il codice compaiono una o più righe, a seconda del numero di eventi considerati, recanti ciascuna una data (composta di giorno, mese ed anno solo ove il dato era disponibile) e delle sigle del tutto uguali a quelle relative all'allegato A (vedi), che stanno a individuare processi, effetti e danni che hanno interessato quella determinata località. Si è considerato opportuno visualizzare anche i dati di fenomeni piuttosto recenti e, in particolar modo, alcuni di quelli del settembre 1993, in maniera tale da fornire a chi legge un rapido riscontro sulla distribuzione spaziale di molti siti colpiti da quest'ultima alluvione, rendendo anche possibile un confronto con alcuni dati pregressi, di cui si è detto nel Capitolo 5.

A causa di alcuni fattori quali la mutevolezza a cui sono sottoposti gli alvei dei corsi d'acqua a regime torrentizio, il cambiamento nel tempo della disposizione delle strutture antropiche e la difficoltà di delimitare esattamente le aree in cui ha avuto effetto il dissesto, si è pensato ad un "modello standard" che potesse permettere un'individuazione abbastanza circoscritta di quanto avvenuto, compatibilmente sia con la vastità in termini di distribuzione spaziale del fenomeno stesso, sia con il margine di incertezza da cui è affetta la localizzazione. Tale modello è rappresentato da cerchi di tre grandezze, il cui diametro aumenta proporzionalmente alla vastità dell'area interessata dal fenomeno, e da una barra trasversale posta nell'angolo destro in alto nell'etichetta, che segnala i casi la cui ubicazione è risultata maggiormente incerta.

B.3 Interpretazione delle tavole.

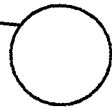
È riportato qui sotto un esempio di come avviene l'ubicazione dei fenomeni. Per quanto riguarda la chiave di lettura delle abbreviazioni si rimanda all'allegato A (par. A.2).

3.
1715: ERO, DEF, DEG, ALL, COLs



Si legga: ubicazione affetta da incertezza; ampio areale interessato; codice 3; anno 1715: fenomeni di erosione, di alluvionamento fine e grossolano, allagamenti; danni gravi ai terreni agricoli.

48.
OTT 1685: ERO, DEF, DEG, SPR, COLs



Si legga: ubicazione abbastanza certa; areale interessato di media entità; codice 48; ottobre 1685: fenomeni di erosione, alluvionamento fine e grossolano, sprofondamento del terreno; danni gravi ai coltivi.

40.
21 MAG 1937: ERF, RIG, IDRf
14 LUG 1973: ERO, ERS, OST, STF_s



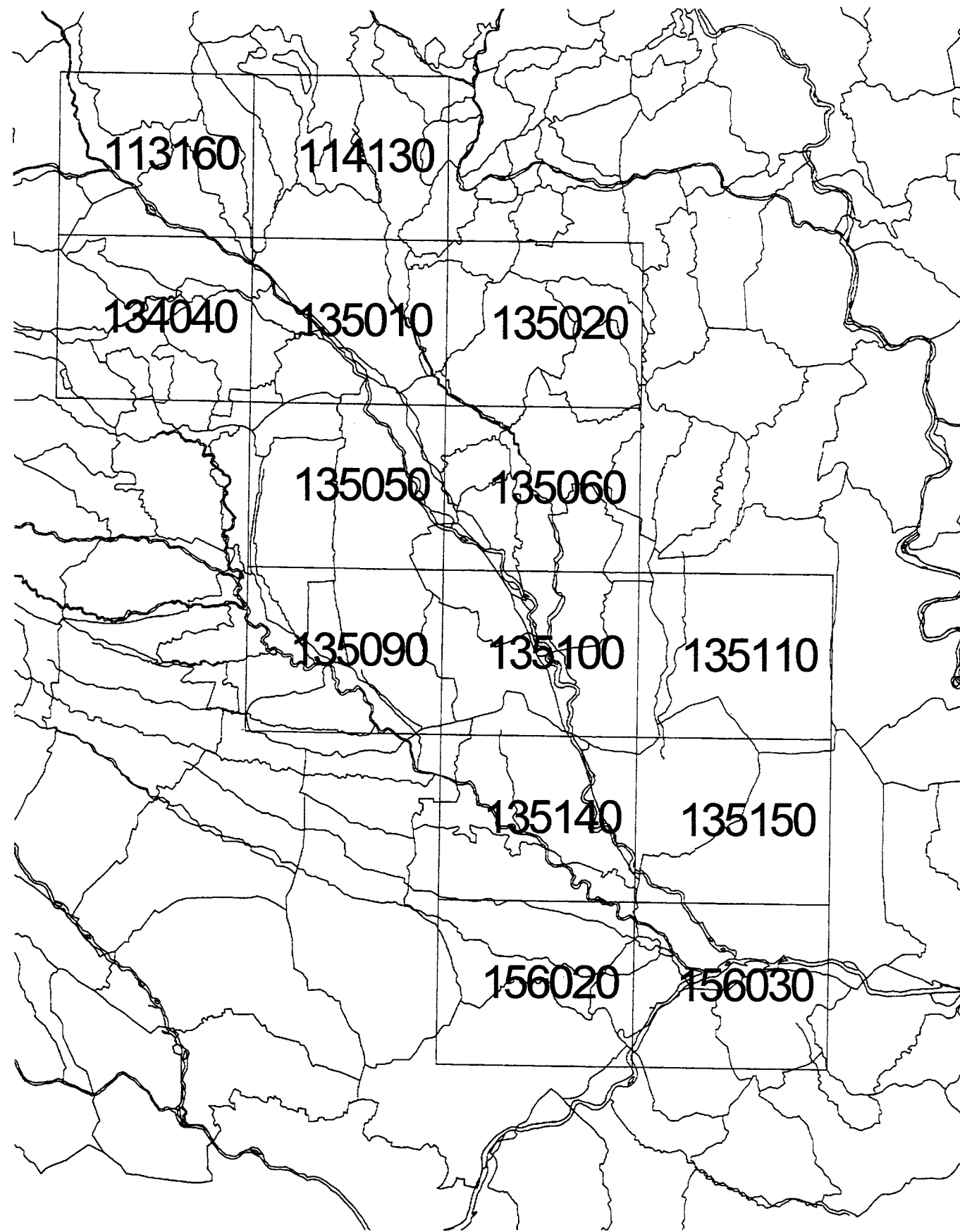
Si legga: ubicazione abbastanza certa; areale piuttosto circoscritto; codice 40;

21 maggio 1937: erosione del fondo, rigurgito dovuto alle strutture; danni funzionali a opere idrauliche;

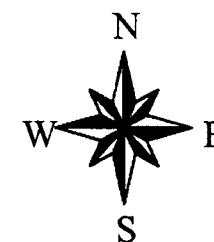
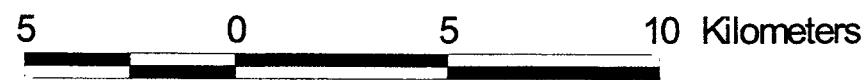
14 luglio 1973: fenomeni di erosione generica e spondale, ostruzione parziale dell'alveo; danni strutturali a strade o ferrovie.

B.4 Ubicazione dei fenomeni.

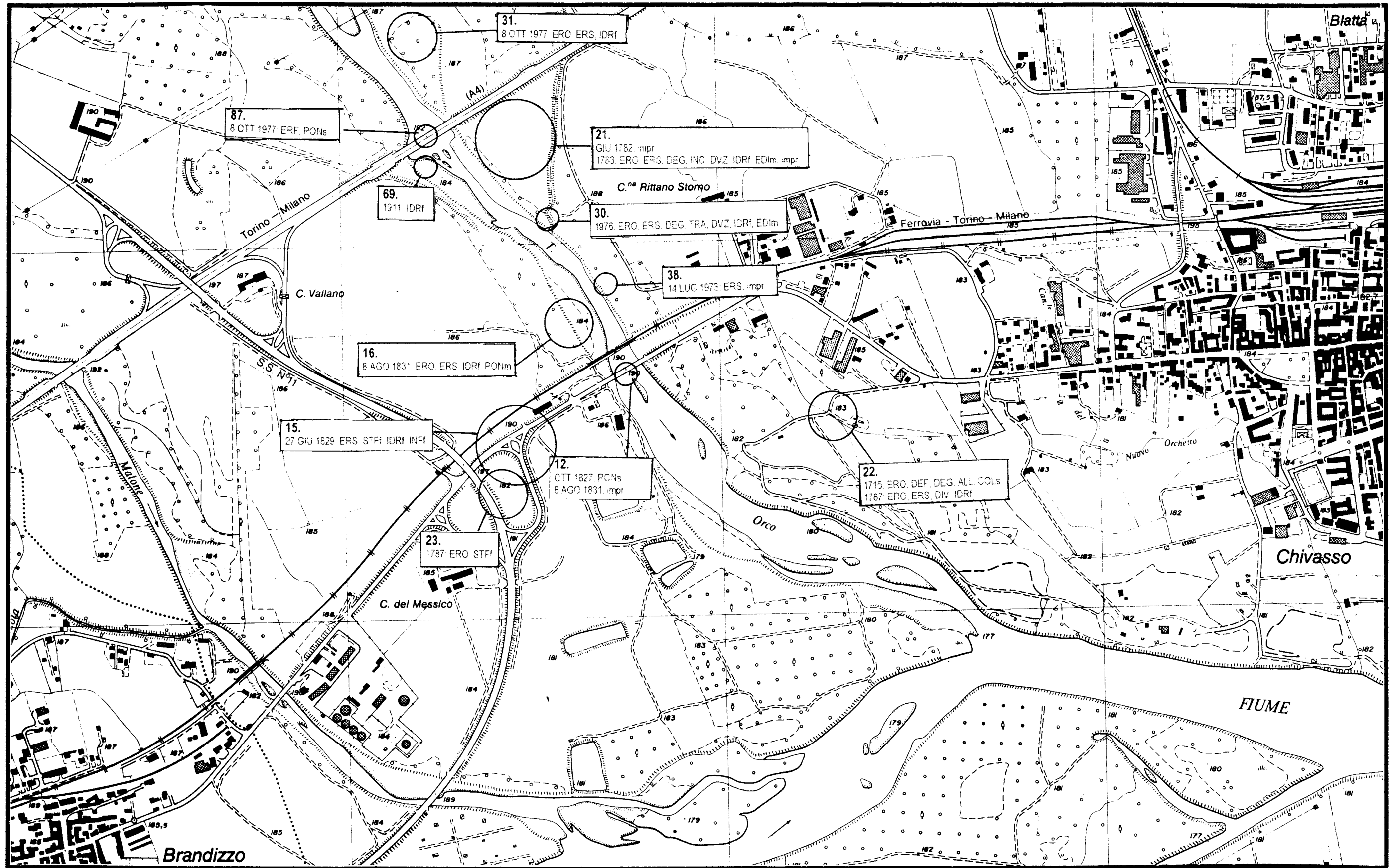
Vengono di seguito riportate le tredici tavole di ubicazione ricavate, precedute da un quadro di insieme delle stesse nell'ambito degli elementi della Carta Tecnica Regionale.



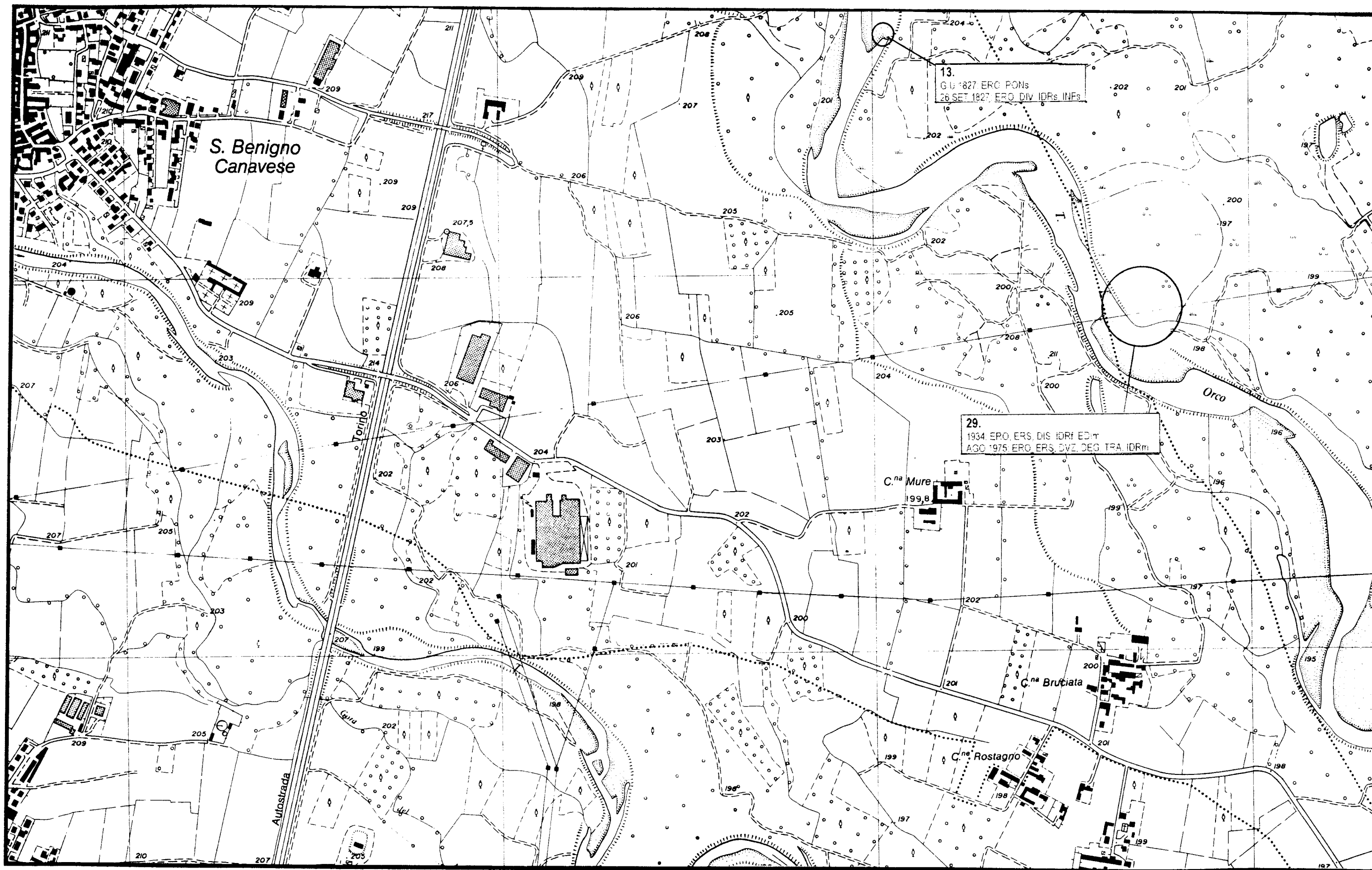
Quadro d'unione delle sezioni CTR



Ricostruzione storica degli eventi alluvionali lungo l'asta del T. Orco nel tratto compreso tra Cuorné e la confluenza con il F. Po



Ricostruzione storica degli eventi alluvionali lungo l'asta del T. Orco nel tratto compreso tra Cuorgné e la confluenza con il F. Po



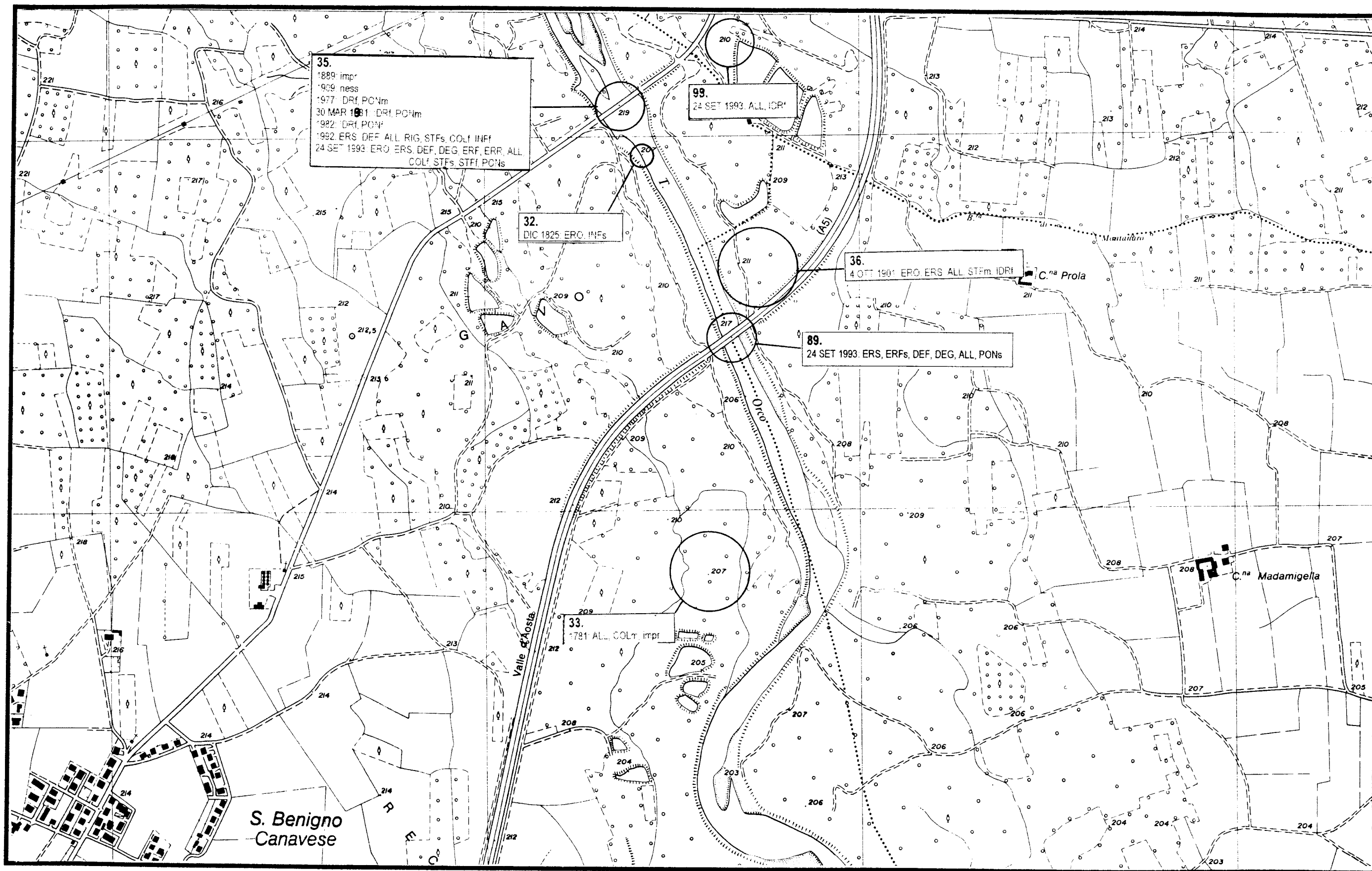
Carta Tecnica Regionale alla scala 1:10 000, elemento

1 3 5 1 4 0



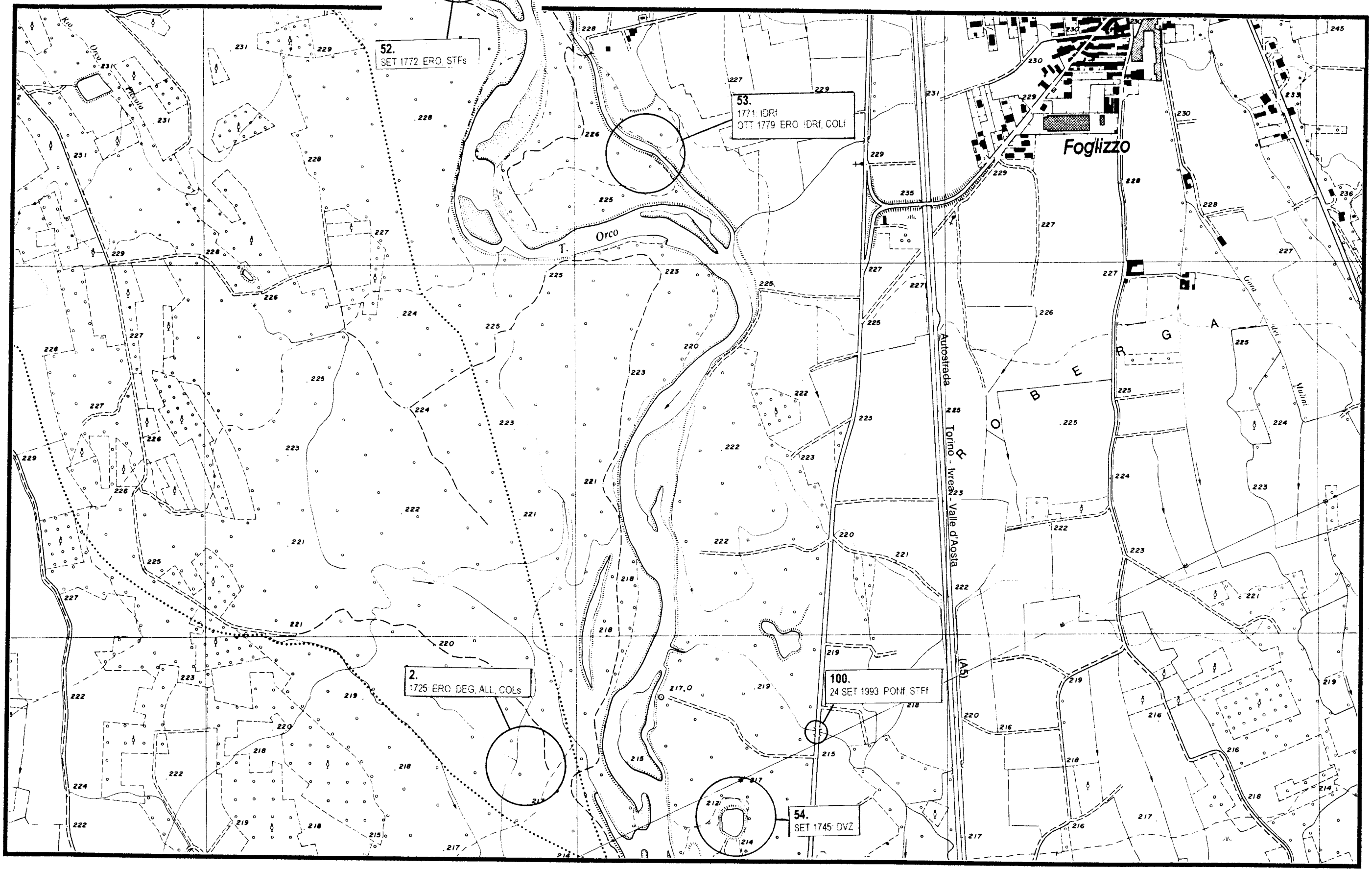
Tavola III

Ricostruzione storica degli eventi alluvionali lungo l'asta del T. Orco nel tratto compreso tra Cuorné e la confluenza con il F. Po



Ricostruzione storica degli eventi allu

T. Orco nel tratto compreso tra Cuorné e la confluenza con il F. Po



Carta Tecnica Regionale alla scala 1:10 000, elemento

1 3 5 1 0 0

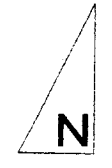
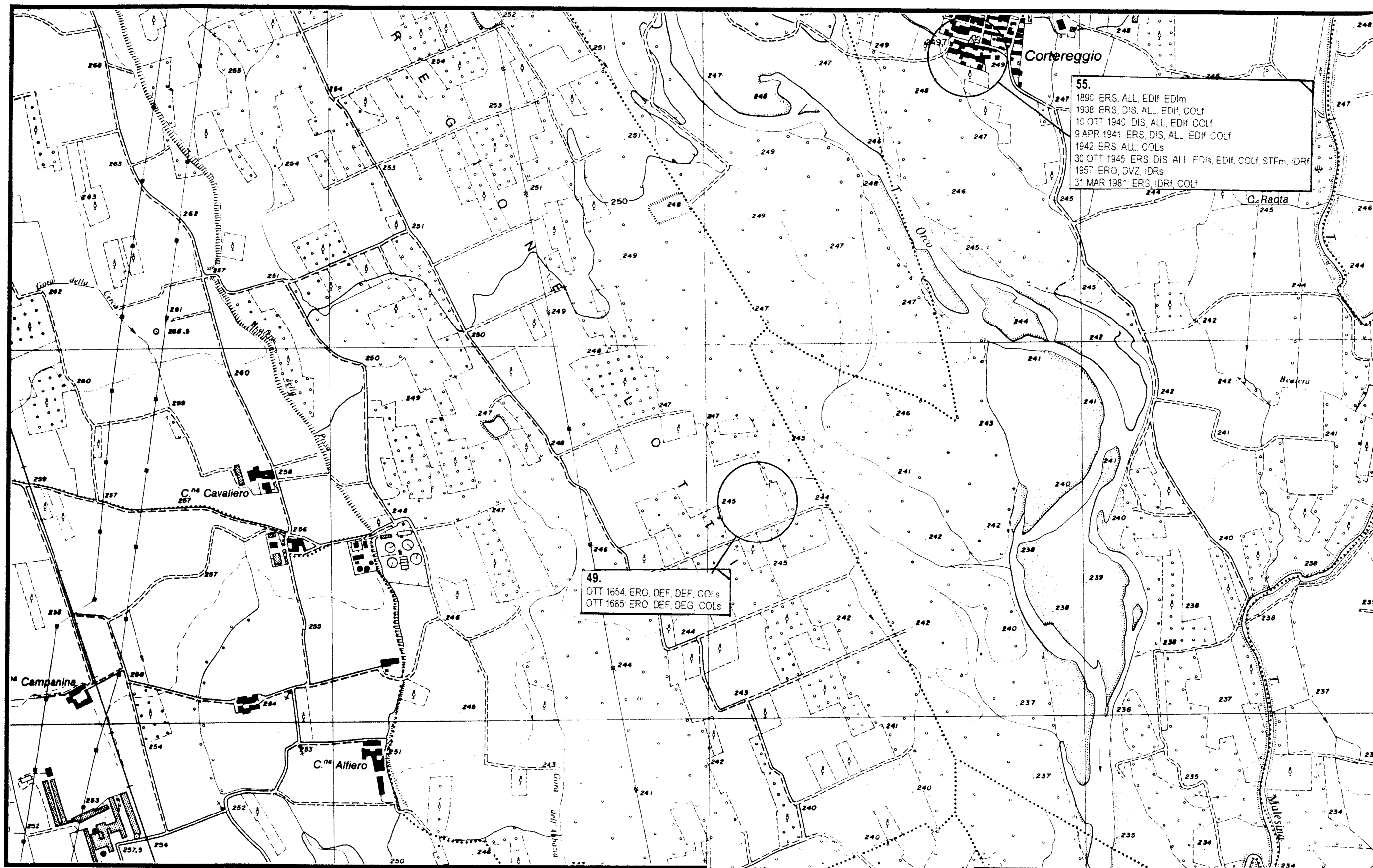


Tavola V

Ricostruzione storica degli eventi alluvionali lungo l'asta del T. Orco nel tratto compreso tra Cuorgné e la confluenza con il F. Po



Carta Tecnica Regionale alla scala 1:10 000, elemento

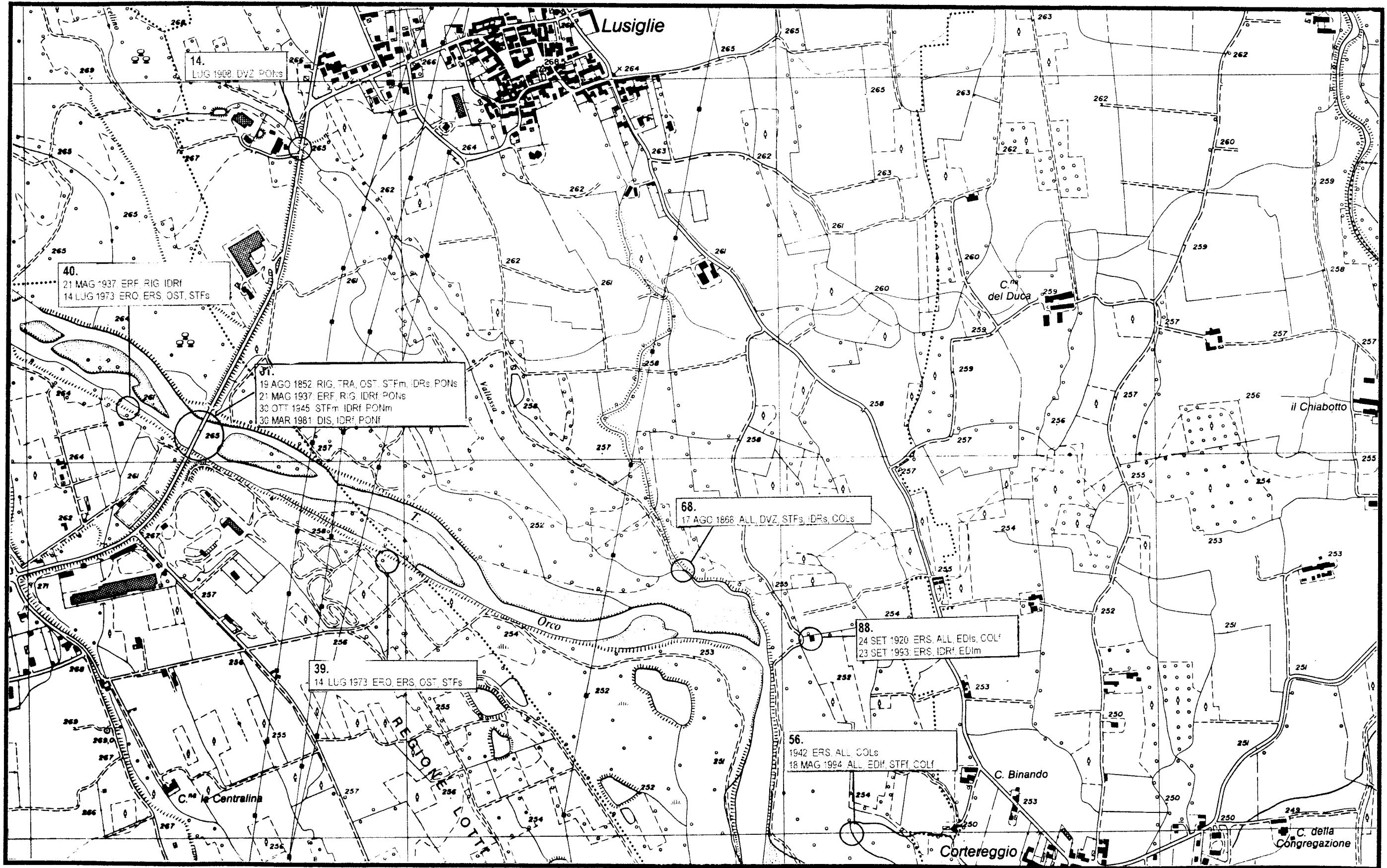
1 3 5 1 0 0

1. 1725 ERO. DEG. ALL. COLS

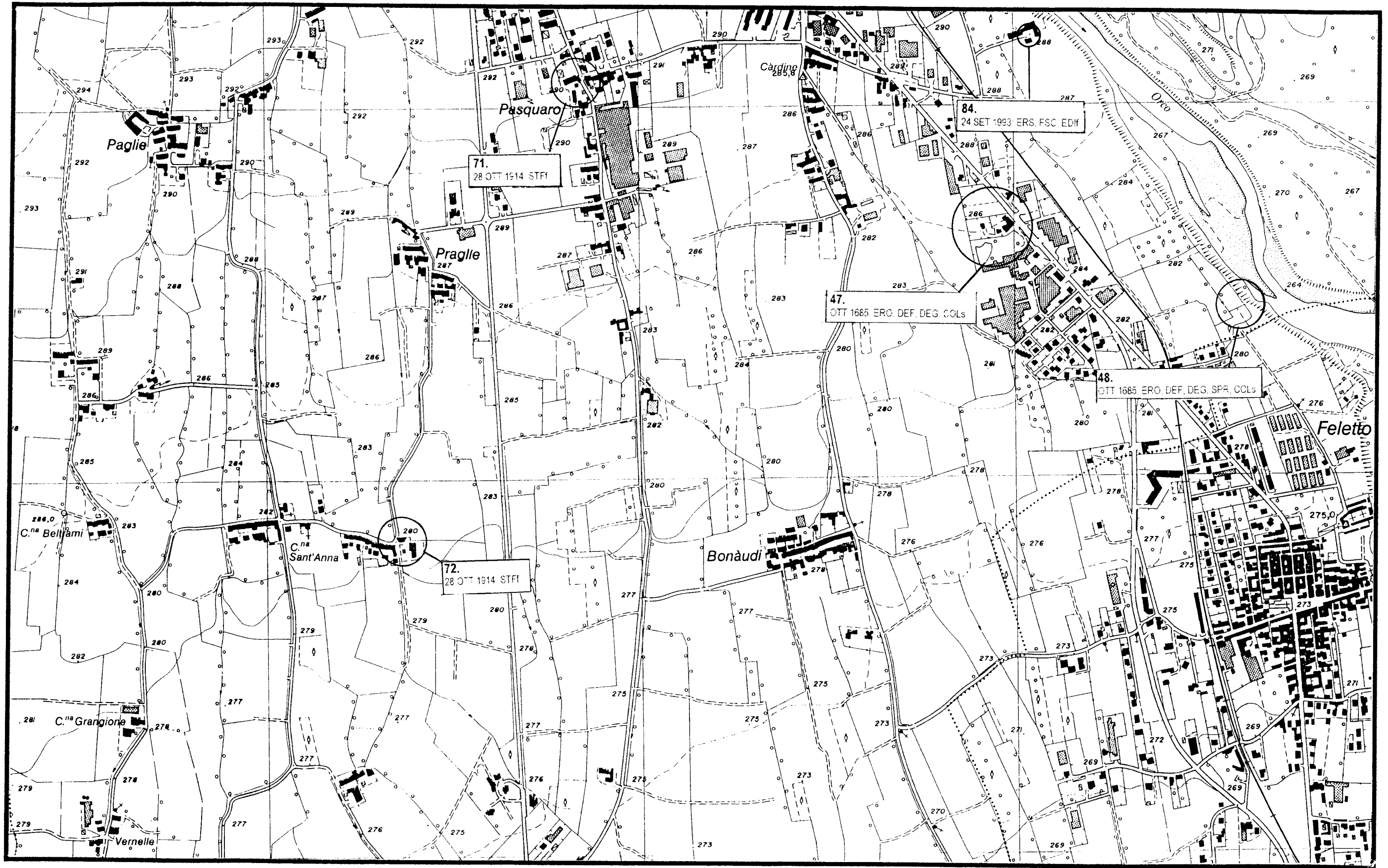


Tavola VI

Ricostruzione storica degli eventi alluvionali lungo l'asta del T. Orco nel tratto compreso tra Cuorné e la confluenza con il F. Po



Ricostruzione storica degli eventi alluvionali lungo l'asta del T. Orco nel tratto compreso tra Cuorné e la confluenza con il F. Po



Carta Tecnica Regionale alla scala 1:10 000, elemento

1 3 5 0 5 0

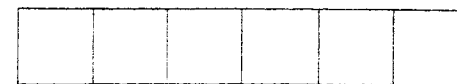
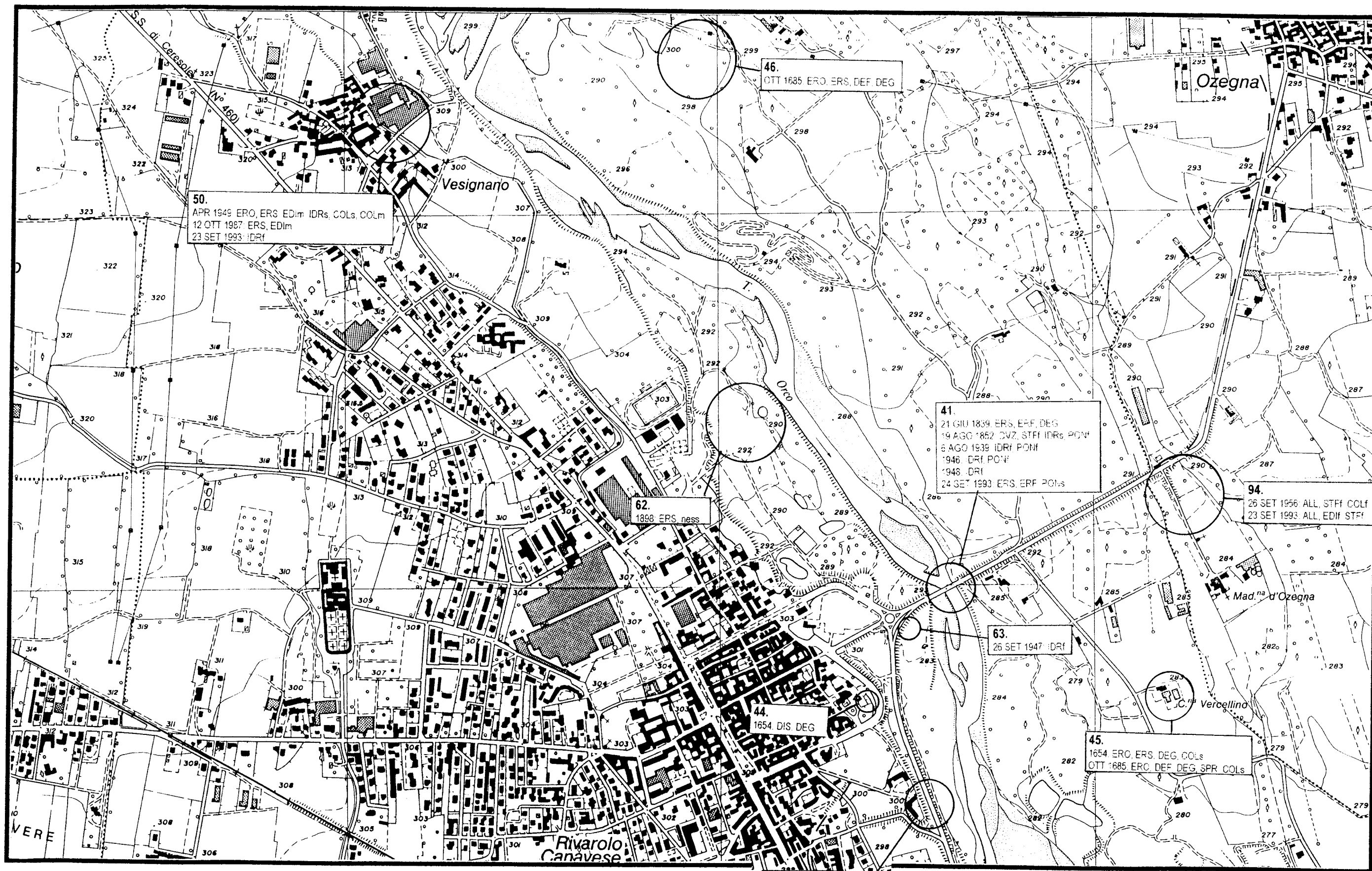


Tavola VIII

Ricostruzione storica degli eventi alluvionali lungo l'asta del T. Orco nel tratto compreso tra Cuorné e la confluenza con il F. Po



Carta Tecnica Regionale alla scala 1:10 000, elemento

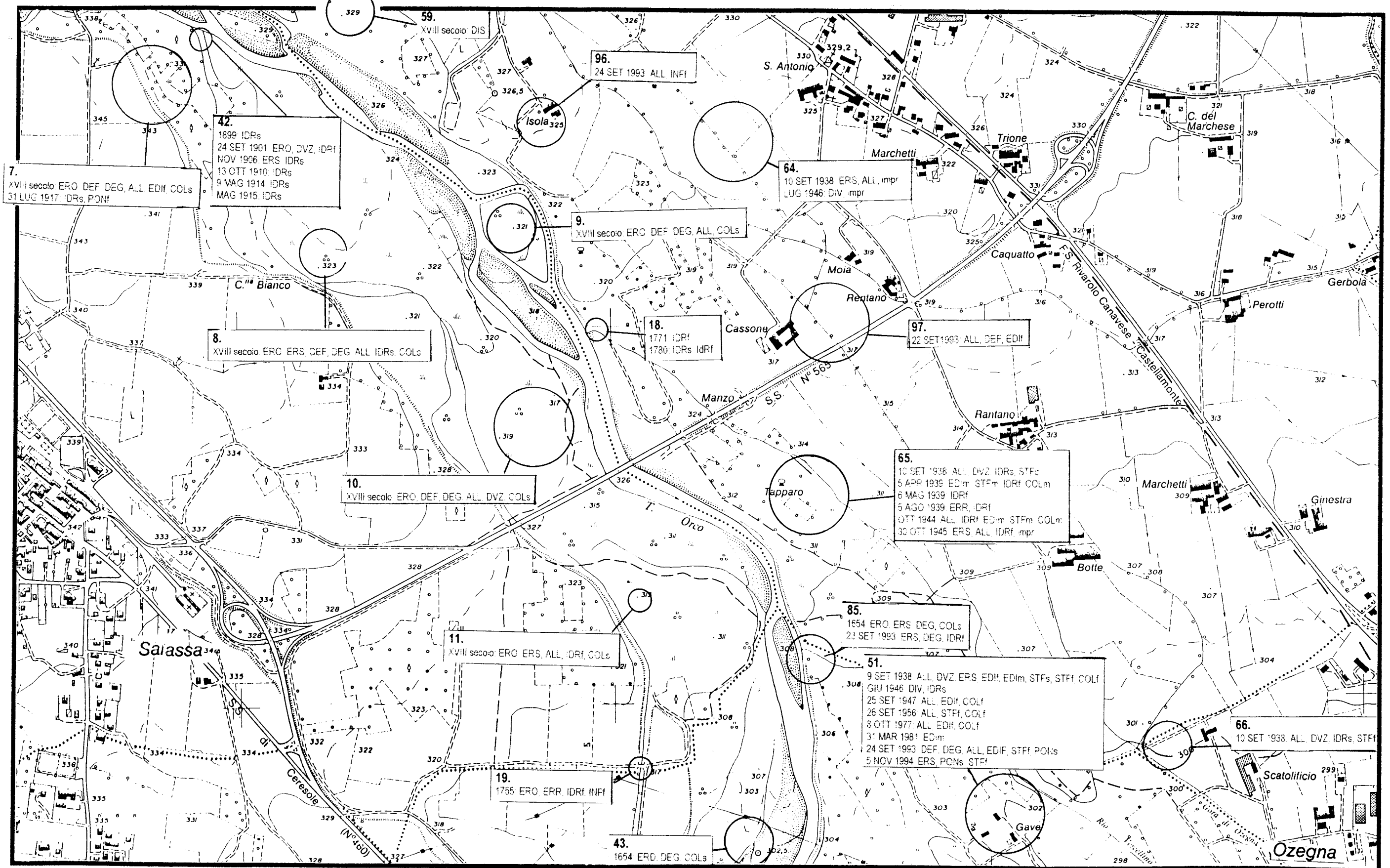
1 3 5 0 5 0

20.
1654 ERO, ALL, COLs
OTT 1685 ERO, COLs
1755 ERO, INFs, VIT, COLs

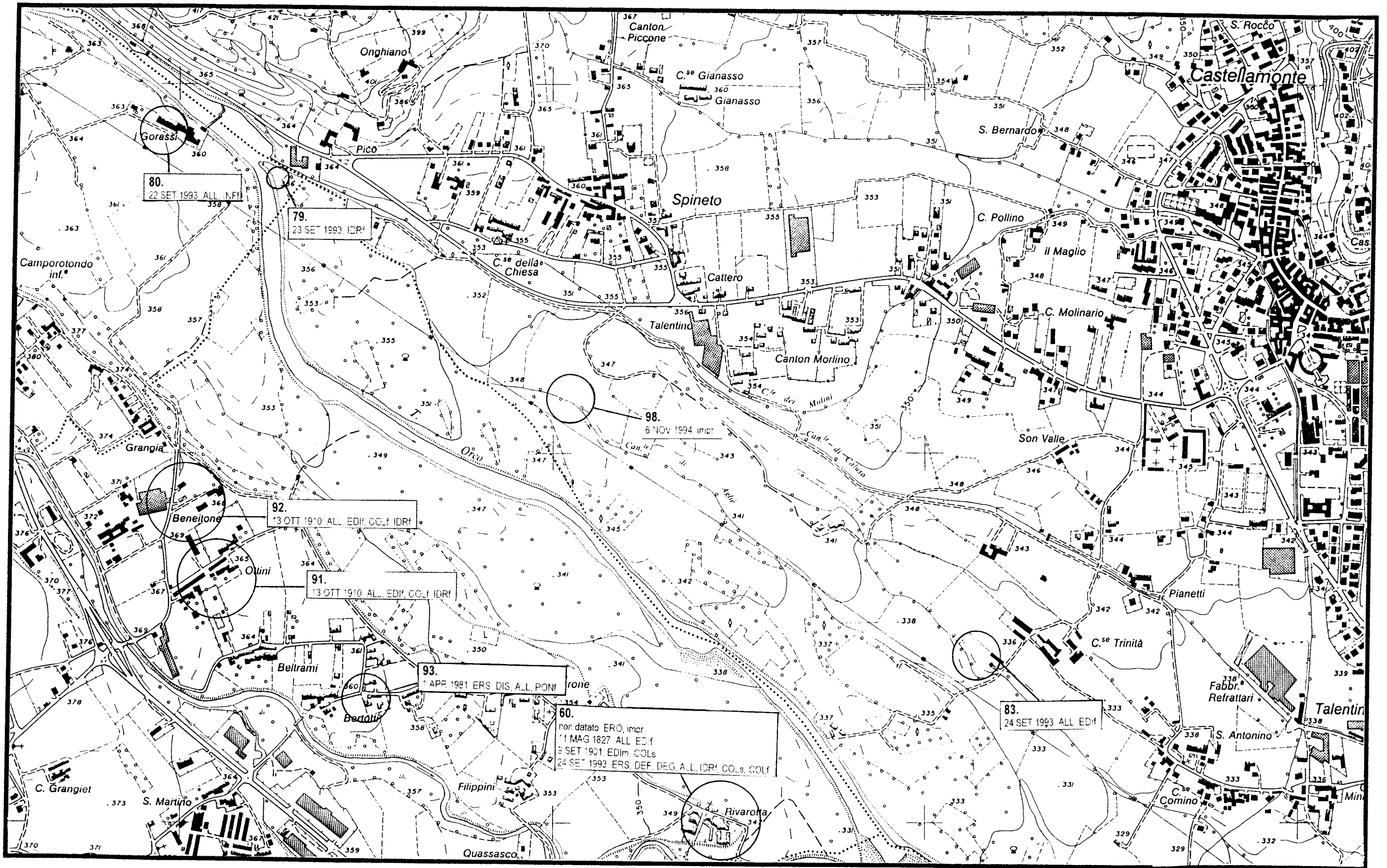


Tavola IX

Ricostruzione storica degli eventi alluvionali lungo l'asta del T. Orco nel tratto compreso tra Cuorné e la confluenza con il F. Po



Ricostruzione storica degli eventi alluvionali lungo l'asta del T. Orco nel tratto compreso tra Cuorné e la confluenza con il F. Po



Carta Tecnica Regionale alla scala 1:10 000, elemento

1 3 5 0 1 0

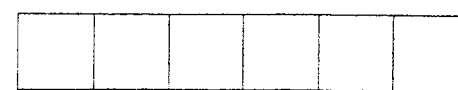
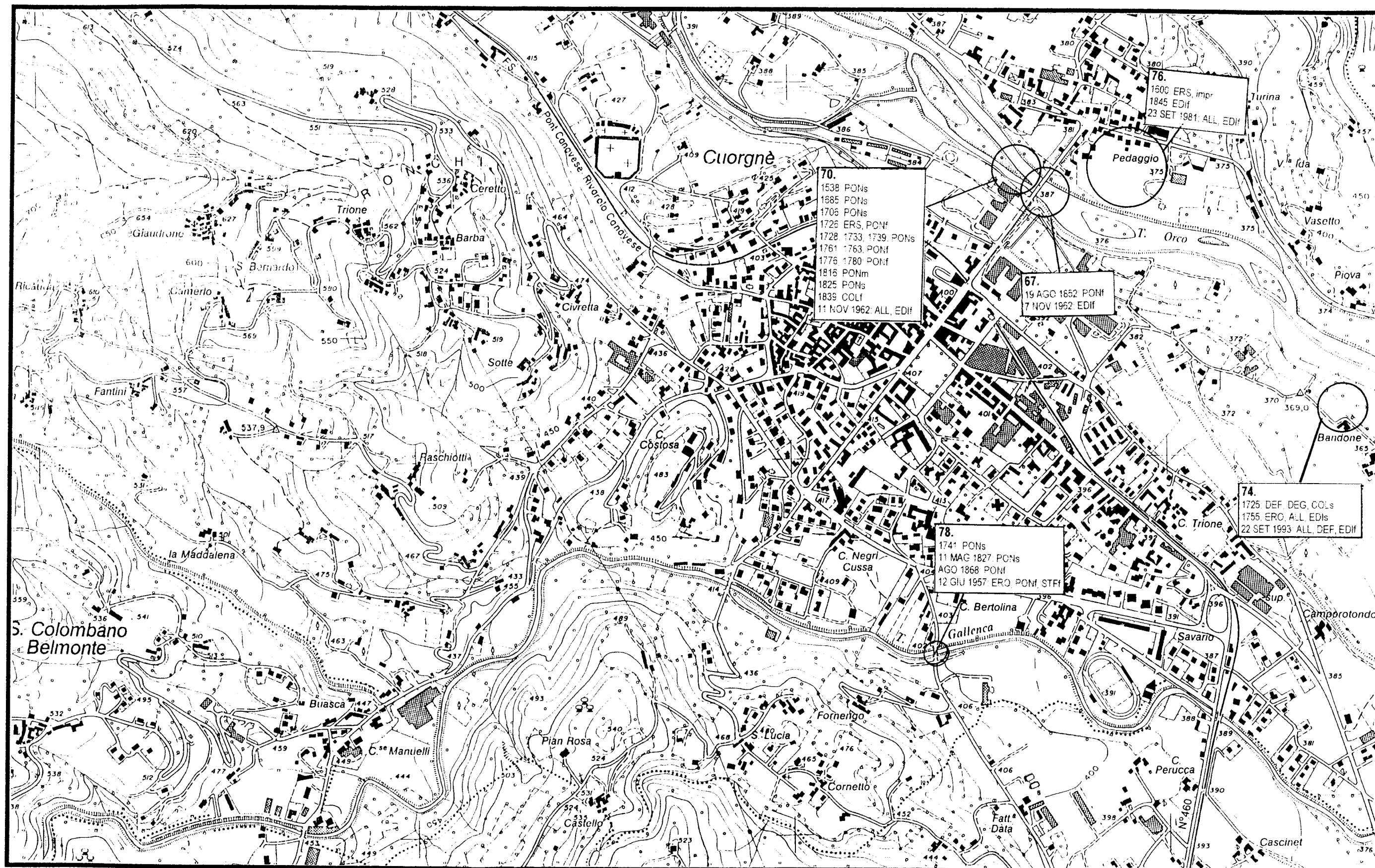
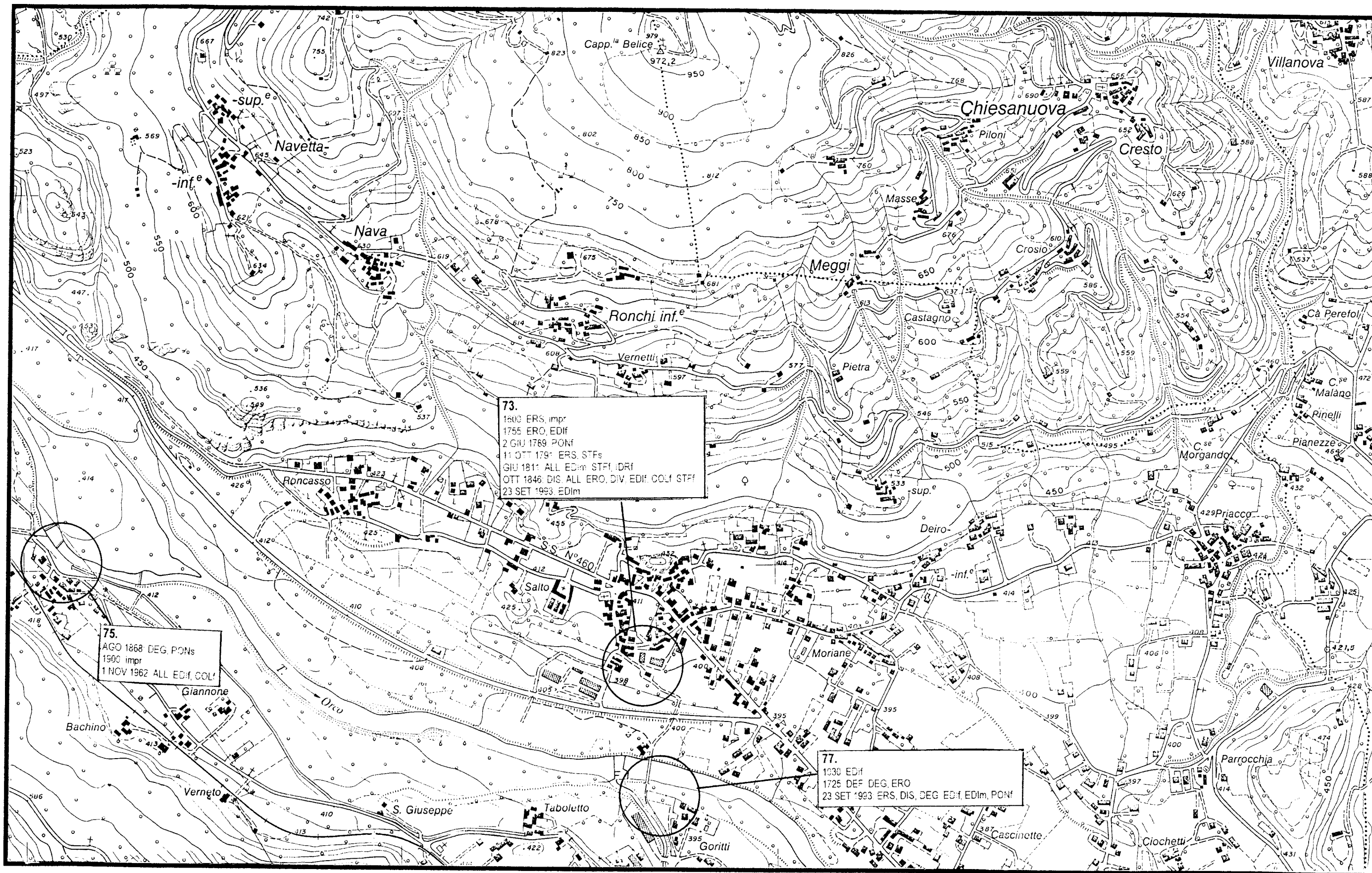


Tavola XI

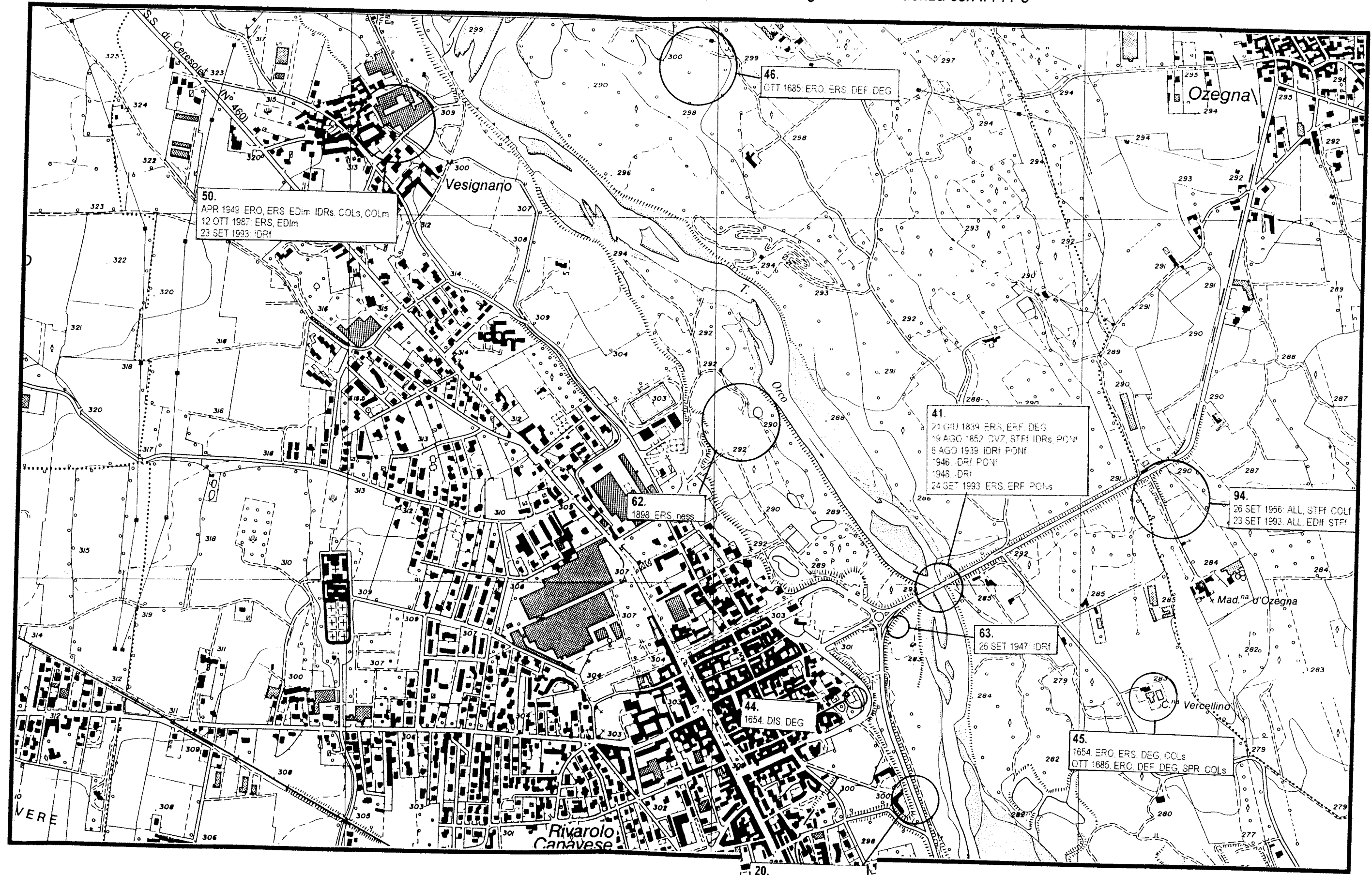
Ricostruzione storica degli eventi alluvionali lungo l'asta del T. Orco nel tratto compreso tra Cuorné e la confluenza con il F. Po



Ricostruzione storica degli eventi alluvionali lungo l'asta del T. Orco nel tratto compreso tra Cuorné e la confluenza con il F. Po



Ricostruzione storica degli eventi alluvionali lungo l'asta del T. Orco nel tratto compreso tra Cuorné e la confluenza con il F. Po



Carta Tecnica Regionale alla scala 1:10 000, elemento

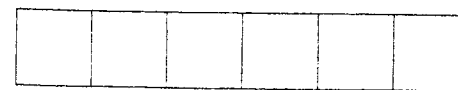
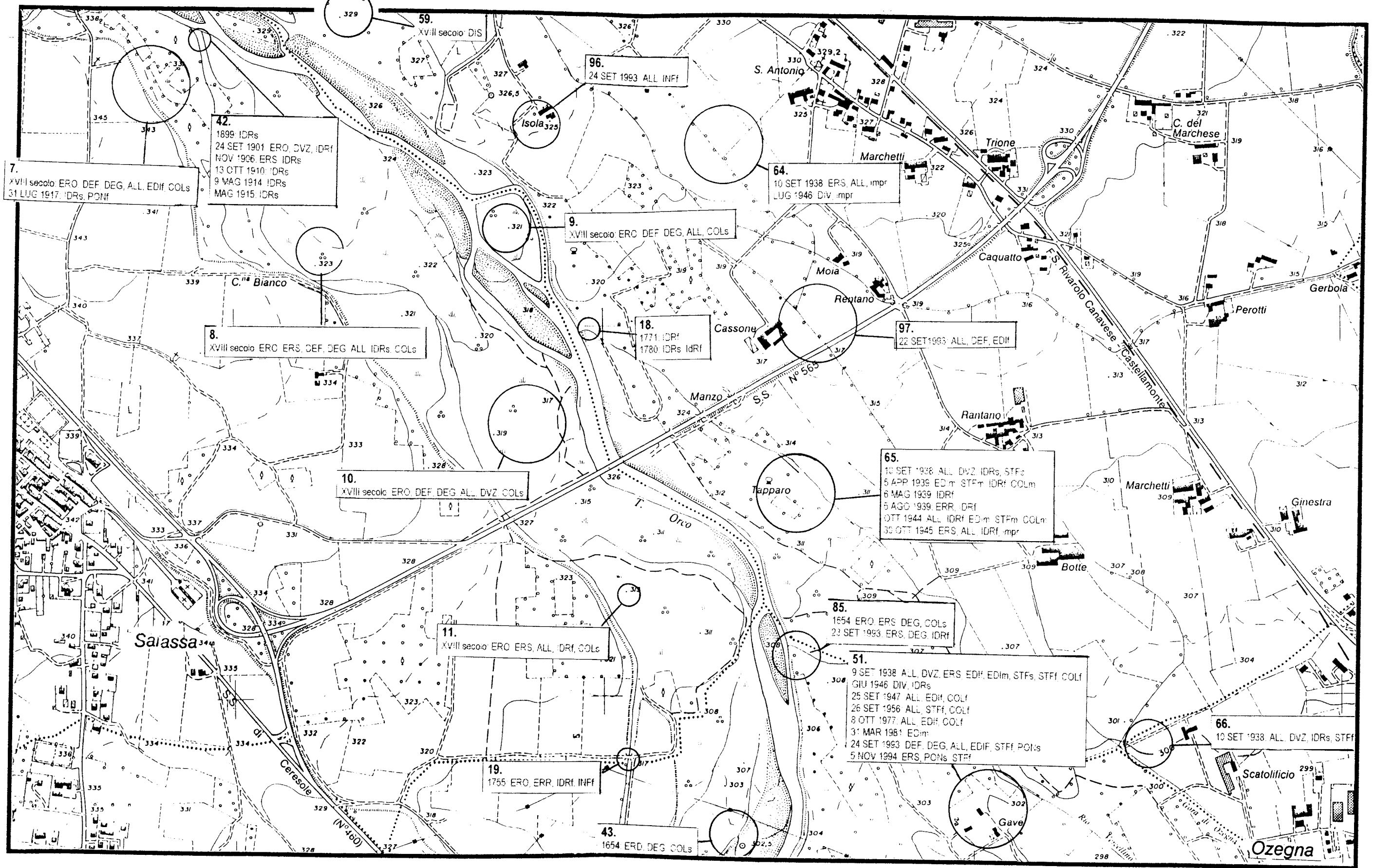
1 3 5 0 5 0

20.
1554 ERO. ALL. COLS
OTT 1685 ERO. COLS
1755 ERO. INFs. VIT. COLS

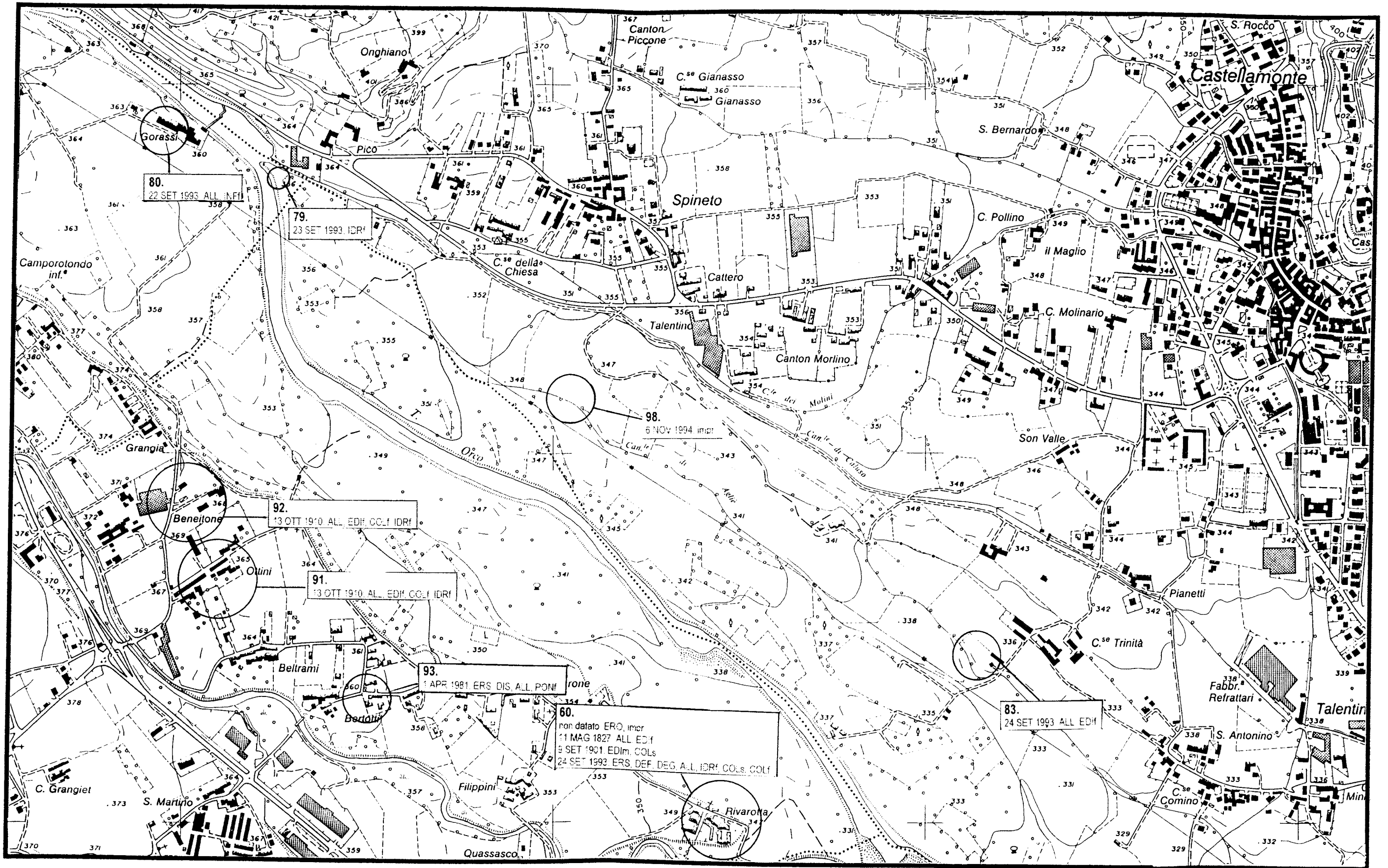


Tavola IX

Ricostruzione storica degli eventi alluvionali lungo l'asta del T. Orco nel tratto compreso tra Cuorné e la confluenza con il F. Po



Ricostruzione storica degli eventi alluvionali lungo l'asta del T. Orco nel tratto compreso tra Cuorné e la confluenza con il F. Po



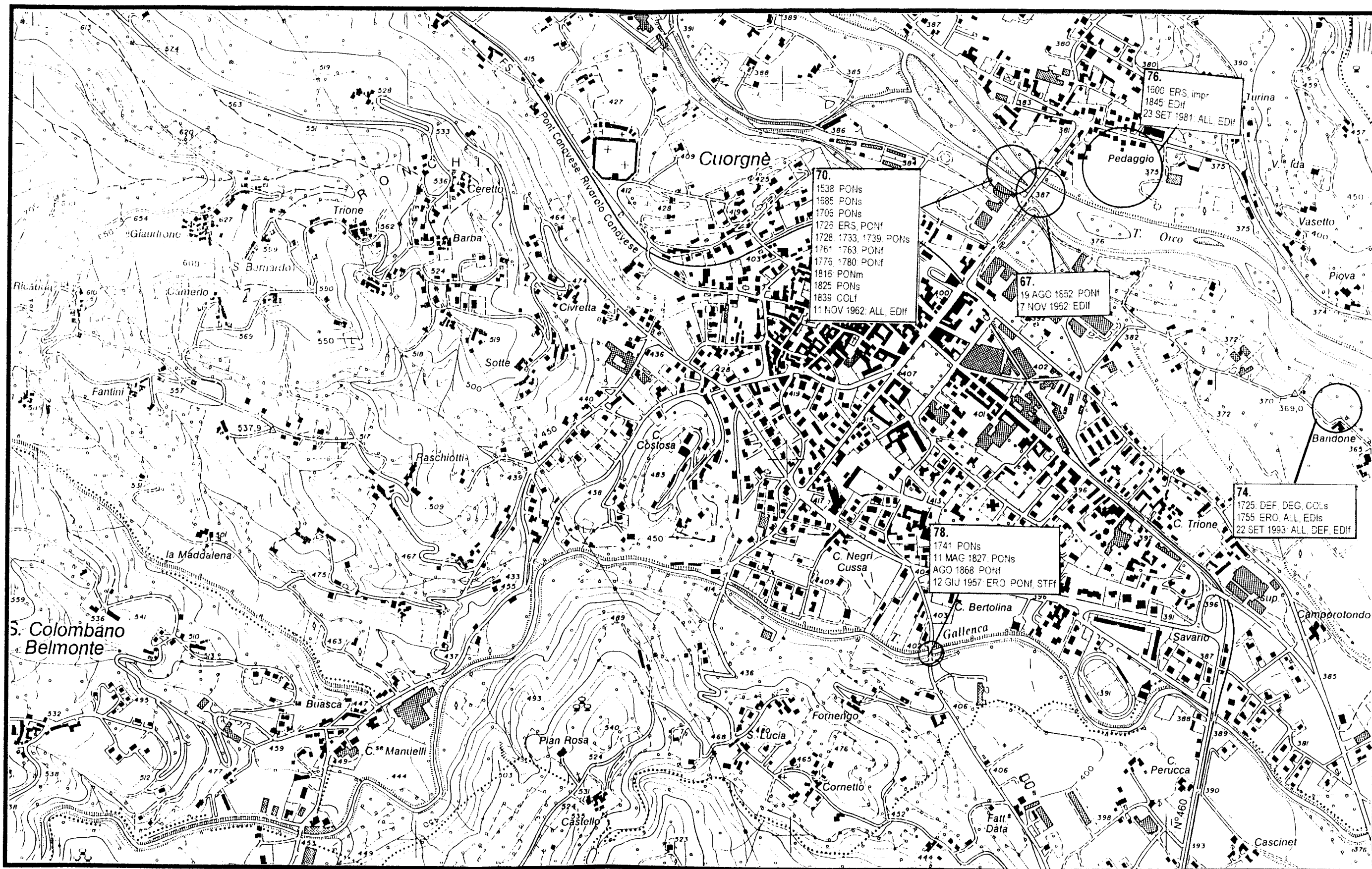
Carta Tecnica Regionale alla scala 1:10 000, elemento

1 3 5 0 1 0

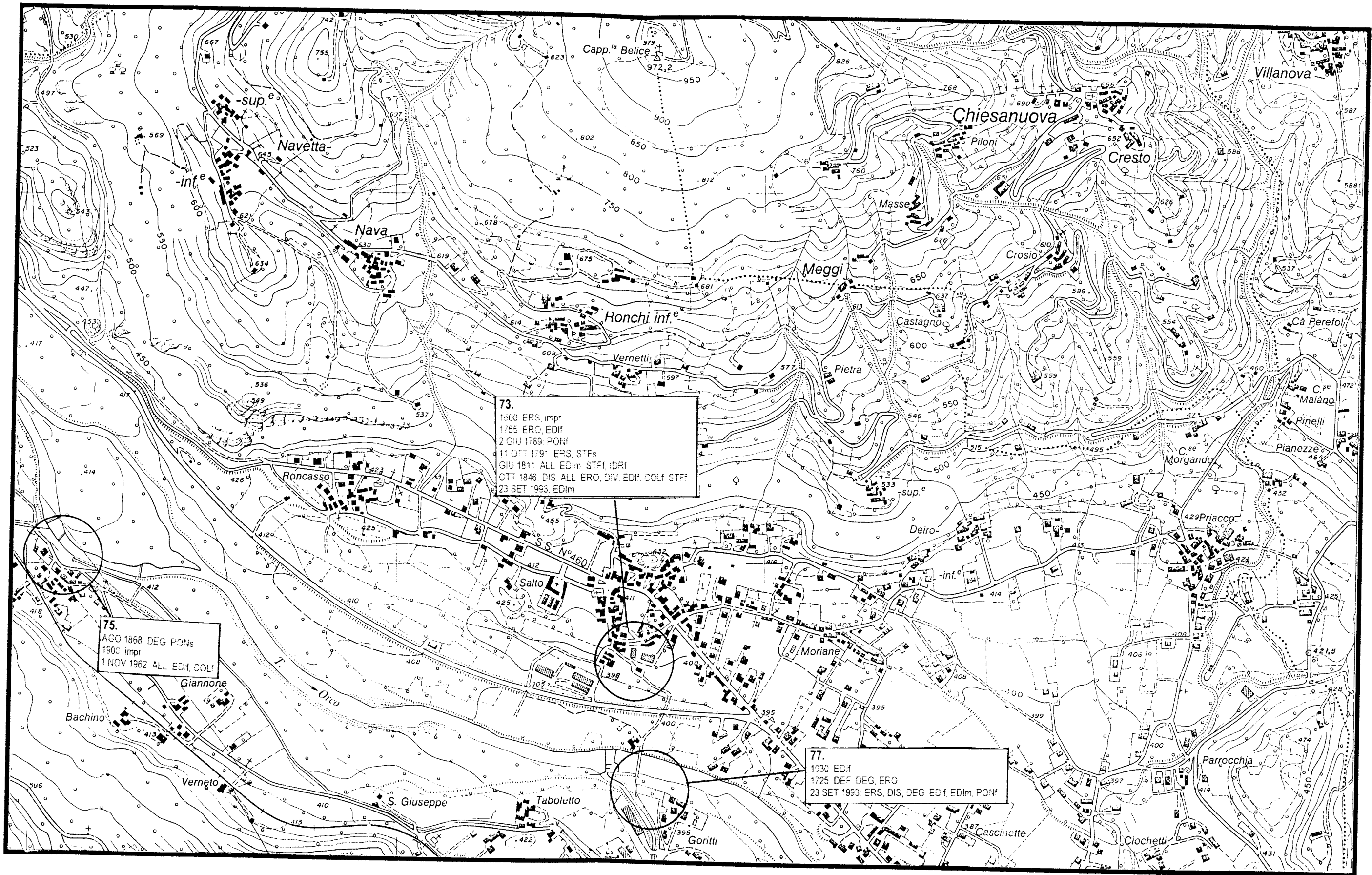


Tavola XI

Ricostruzione storica degli eventi alluvionali lungo l'asta del T. Orco nel tratto compreso tra Cuornè e la confluenza con il F. Po



Ricostruzione storica degli eventi alluvionali lungo l'asta del T. Orco nel tratto compreso tra Cuorgné e la confluenza con il F. Po



75.
AGO 1868 DEG. PONTS
1900 impr
1 NOV 1962 ALL EDI. COLI

73.
1800 ERS. impr
1755 ERO. EDI
2 GIU 1769 PONF
1: OTT 179: ERS. STFS
GIU 181: ALL EDI. STFI. IDRI
OTT 1846 DIS ALL ERO. DIV. EDI. COLI STFI
23 SET 1993. EDIm

77.
1030 EDI
1725 DEF DEG. ERO
23 SET 1993 ERS. DIS. DEG EDI EDIm, PONF

